

НЕЛИНЕЙНЫЕ ПОВЕРХНОСТНЫЕ ВОЛНЫ НА ГРАНИЦЕ РАЗДЕЛА ОПТИЧЕСКИХ СРЕД С РАЗЛИЧНЫМИ МЕХАНИЗМАМИ ИНДУЦИРОВАНИЯ НЕЛИНЕЙНОСТИ

C. E. Savotchenko*

Белгородский государственный технологический университет им. В. Г. Шухова
308012, Белгород, Россия

Поступила в редакцию 2 января 2019 г.,
после переработки 25 марта 2019 г.
Принята к публикации 26 марта 2019 г.

Описаны типы нелинейных поверхностных волн необыкновенной поляризации, возникающие на границе раздела фоторефрактивного кристалла и среды с керровской нелинейностью. Рассмотрены случаи фокусирующей и дефокусирующей нелинейности. Показано, что в такой системе могут существовать нелинейные поверхностные волны несимметричного профиля нескольких типов. Волны одного типа затухают при удалении от границы раздела без осцилляций в глубину как фоторефрактивного кристалла, так и керровского, а другого типа — с осцилляциями. Вблизи границы раздела фоторефрактивного кристалла и среды с дефокусирующей керровской нелинейностью могут существовать по два вида локализованных состояний, различающихся формой затухания поля, как с осцилляциями, так и без. Получены дисперсионные соотношения и указаны условия существования всех описанных типов волн в зависимости от оптических характеристик кристаллов. В явном аналитическом виде найдены точные решения дисперсионных уравнений, описывающие зависимости константы распространения от оптических характеристик кристаллов.

DOI: 10.1134/S0044451019080017

1. ВВЕДЕНИЕ

Теоретическому описанию поверхностных электромагнитных волн (плазмонов, поляритонов) на границах различных сред посвящено большое количество работ [1–7]. С точки зрения технических приложений особую важность имеют исследования свойств поверхностных волн в различных нелинейных оптических средах, таких как фоторефрактивные кристаллы [8–11] и среды с эффектом Керра [12]. Тем не менее необходим детальный анализ многих практически важных аспектов, в частности, механизмов формирования нелинейных поверхностных волн с несимметричным профилем, возникающих вблизи границ между фоторефрактивными кристаллами и другими оптическими средами. В основном описывалась локализация возбуждений электромагнитного поля вблизи границ раздела сред с одинаковыми по физической природе

формами нелинейности (наиболее часто встречающийся случай — контакт двух сред с керровской нелинейностью [13–21]) либо на границе раздела линейной и нелинейной сред [22–26].

В данной работе предлагается теоретическое описание новых типов нелинейных локализованных состояний, соответствующих поверхностным волнам на границе двух оптических сред с различными по физической природе формами нелинейности: фоторефрактивного кристалла и кристалла с керровской нелинейностью. Очевидно, что такие поверхностные волны будут иметь несимметричный профиль относительно границы раздела сред. Кроме того, различие форм нелинейности, обусловленных различными механизмами индуцирования поля вследствие перераспределения плотности зарядов в кристаллах, приводит к возможности существования нелинейных поверхностных волн, амплитуда поля которых убывает при удалении от границы раздела сред осциллирующим образом. Также будет показано, что если считать известной амплитуду поля поверхностной волны на границе раздела кристаллов, то возможно найти в явном аналитическом ви-

* E-mail: savotchenkose@mail.ru

де без использования дополнительных приближений точные решения дисперсионных уравнений, определяющие зависимости константы распространения от оптических характеристик кристаллов.

2. УРАВНЕНИЯ МОДЕЛИ

Рассмотрим контакт одноосного фоторефрактивного кристалла с диффузионным механизмом формирования нелинейности и одноосного кристалла с керровской нелинейностью (далее будем для краткости называть его керровским кристаллом) в отсутствие приложенного внешнего поля. Границу раздела кристаллов будем считать настолько тонкой, что можно пренебречь оптическими эффектами внутри нее.

Будем изучать Р-поляризованные нелинейные поверхностные волны, для которых $E_y = 0$, $H_x = H_z = 0$, т. е. волны с необыкновенной поляризацией (ТМ-волны). Так как будет рассматриваться скользящее распространение светового пучка, то можно пренебречь анизотропией показателя преломления и использовать одноосное приближение.

Пусть полярная ось фоторефрактивного кристалла направлена вдоль оси x . ТМ-волну распространяется вдоль оси z . Граница раздела между фоторефрактивным и керровским кристаллами расположена в плоскости $x = 0$. Фоторефрактивный кристалл занимает полупространство $x > 0$, а керровский — полупространство $x < 0$.

Будем рассматривать только стационарное распределение поля поверхностной волны. Из системы уравнений Максвелла в рассматриваемом случае получается уравнение для отличной от нуля компоненты вектора магнитного поля:

$$\Delta H_y + k^2(x)H_y = 0, \quad (1)$$

где Δ — двумерный оператор Лапласа по координатам x и z ,

$$k(x) = \begin{cases} k_0 \{n_{10}(x) + \Delta n_1(x)\}, & x > 0, \\ k_0 \{n_{20}(x) + \Delta n_2(x)\}, & x < 0, \end{cases}$$

$k_0 = 2\pi/\lambda_0$, λ_0 — длина волны света в вакууме, n_{j0} — невозмущенные показатели преломления, Δn_j — нелинейные добавки к ним, которые считаются малыми ($\Delta n_j \ll n_{j0}$), $j = 1, 2$. Здесь и далее значение индекса $j = 1$ соответствует величине, характеризующей фоторефрактивный кристалл в области $x > 0$, а значение индекса $j = 2$ соответствует величине, характеризующей керровский кристалл в области $x < 0$.

Нелинейная добавка к показателю преломления фоторефрактивного кристалла формируется в результате диффузионного механизма нелинейности [27]. Если пренебречь темновой интенсивностью по сравнению с интенсивностью поверхностной волны, то нелинейную добавку к показателю преломления фоторефрактивного кристалла можно представить в виде [9, 10, 27]

$$\Delta n_1(x) = \frac{1}{2} n_{10}^3 r_{eff} \frac{k_B T}{e} \frac{I'_1}{I_1},$$

где штрихи здесь и далее означают производные по координате x , r_{eff} — эффективный электрооптический коэффициент, k_B — константа Больцмана, T — температура, e — модуль заряда электрона, $I_j \propto \propto |H_j|^2$ — интенсивность светового пучка в поверхностной волне.

Нелинейная добавка к показателю преломления керровского кристалла пропорциональна интенсивности: $\Delta n_2(x) \propto I_2$. Для нее будем использовать выражение в виде $\Delta n_2(x) = \alpha |H_2|^2$, α — коэффициент керровской нелинейности (постоянный).

Предполагая, что установившееся распространение распространяющейся вдоль оси z волны представимо в виде

$$H_y(x, z) = \begin{cases} H_1(x) e^{i\beta k_0 z}, & x > 0, \\ H_2(x) e^{i\beta k_0 z}, & x < 0, \end{cases}$$

где β — константа распространения, в рассматриваемом приближении с учетом малости темновой интенсивности по сравнению с интенсивностью поверхности волны и малости нелинейных добавок к невозмущенным показателям преломления из (1) можно получить уравнения

$$H_1'' + \mu H_1' + (n_{10}^2 - \beta^2)k_0^2 H_1 = 0, \quad (2)$$

$$H_2'' + (n_{20}^2 - \beta^2)k_0^2 H_2 + g|H_2|^2 H_2 = 0, \quad (3)$$

где $\mu = 2k_0^2 n_{10}^4 r_{eff} k_B T / e$ — коэффициент затухания волны в фоторефрактивном кристалле, $g = 2\alpha k_0^2 n_{20}$ — эффективный коэффициент нелинейности в керровском кристалле.

Из условия непрерывности тангенциальных составляющих полей на границе кристаллов вытекают граничные условия

$$H_1(0) = H_2(0) = H_0, \quad (4)$$

$$\frac{1}{\varepsilon_1} H_1'(0) = \frac{1}{\varepsilon_2} H_2'(0), \quad (5)$$

где H_0 — амплитуда поля на границе раздела, $\varepsilon_j \propto n_{j0}^2$ — линейные (невозмущенные) части диэлектрических проницаемостей фоторефрактивного и керровского кристаллов.

Таким образом, математическая формулировка модели для описания нелинейных поверхностных волн на границе фоторефрактивного и керровского кристаллов сводится к уравнениям (2) и (3) с граничными условиями (4) и (5).

Нелинейные поверхностные волны в рассматриваемой модели представляют собой решения краевой задачи (2)–(5), удовлетворяющие условиям ограниченности.

Уравнение (2) имеет два типа исчезающих на бесконечности решений в зависимости от соотношения между значениями константы распространения, коэффициента затухания и невозмущенного показателя преломления в фоторефрактивном кристалле. Амплитуда волны первого типа затухает без осцилляций при удалении от границы раздела вглубь фоторефрактивного кристалла, а второго типа — осциллирующим образом [28].

Решения нелинейного уравнения (3) определяются знаком коэффициента нелинейности g и знаком разности $n_{20}^2 - \beta^2$. В зависимости от их комбинаций возникает несколько типов нелинейных поверхностных волн несимметричного профиля.

3. ЗАТУХАЮЩИЕ БЕЗ ОСЦИЛЛЯЦИЙ НЕЛИНЕЙНЫЕ ПОВЕРХНОСТНЫЕ ВОЛНЫ

3.1. Волны в кристалле с положительной керровской нелинейностью

В случае $g > 0$ и $\max\{n_{20}, \sqrt{n_{10}^2 - \mu^2/4k_0^2}\} < \beta < n_{10}$ решения уравнений (2) и (3) представимы в виде

$$H_1(x) = e^{-\mu x/2}(Ae^{\nu x} + Be^{-\nu x}), \quad (6)$$

$$H_2(x) = \sqrt{\frac{2}{g}} \frac{q}{\operatorname{ch} q(x - x_0)}. \quad (7)$$

Параметр ν решения (6) определяется выражением

$$\nu^2 = \frac{1}{4} \{ \mu^2 - 4k_0^2(n_{10}^2 - \beta^2) \}, \quad (8)$$

а решения (7) —

$$q^2 = k_0^2(\beta^2 - n_{20}^2). \quad (9)$$

Величина $1/q$ характеризует глубину локализации поля в керровском кристалле, а x_0 определяет положение центра локализации поля.

Поверхностная волна с неосциллирующим профилем может наблюдаться только при очень малых углах скольжения пучка, возбуждающего эту волну.

Подстановка решений (6) и (7) в граничные условия (4) и (5) приводят к следующим выражениям для параметров поля в фоторефрактивном кристалле:

$$A = \frac{q}{\nu\sqrt{2g} \operatorname{ch} qx_0} \left(\frac{\varepsilon_1}{\varepsilon_2} q \operatorname{th} qx_0 + \frac{\mu}{2} + \nu \right), \quad (10)$$

$$B = -\frac{q}{\nu\sqrt{2g} \operatorname{ch} qx_0} \left(\frac{\varepsilon_1}{\varepsilon_2} q \operatorname{th} qx_0 + \frac{\mu}{2} - \nu \right). \quad (11)$$

Таким образом, нелинейная поверхностная волна с неосциллирующим профилем при положительной керровской нелинейности описывается распределениями полей (6) и (7) с параметрами, определяемыми выражениями (8)–(11) (см. рис. *a*). Величина x_0 здесь играет роль свободного параметра.

Если максимум локализации расположен в плоскости границы раздела кристаллов, когда $x_0 = 0$, то выражения (10) и (11) упрощаются:

$$A = \frac{q}{\nu\sqrt{2g}} \left(\frac{\mu}{2} + \nu \right), \quad (12)$$

$$B = -\frac{q}{\nu\sqrt{2g}} \left(\frac{\mu}{2} - \nu \right). \quad (13)$$

Нелинейная поверхностная волна с неосциллирующим профилем (6) может затухать в глубину фоторефрактивного кристалла немонотонно или монотонно. Монотонное затухание волны в глубину фоторефрактивного кристалла происходит в двух случаях:

1) $A = 0$, и тогда $H_0 = B$,

или

2) $B = 0$, и тогда $H_0 = A$.

Далее, из (10) и (11) получается

$$\nu = \mp \left(\frac{\varepsilon_1}{\varepsilon_2} q \operatorname{th} qx_0 + \frac{\mu}{2} \right), \quad (14)$$

где выбирается знак «–» для $A = 0$ и знак «+» для $B = 0$. В этих случаях распределение поля (6) в монотонно затухающей поверхностной волне в фоторефрактивном кристалле принимает вид

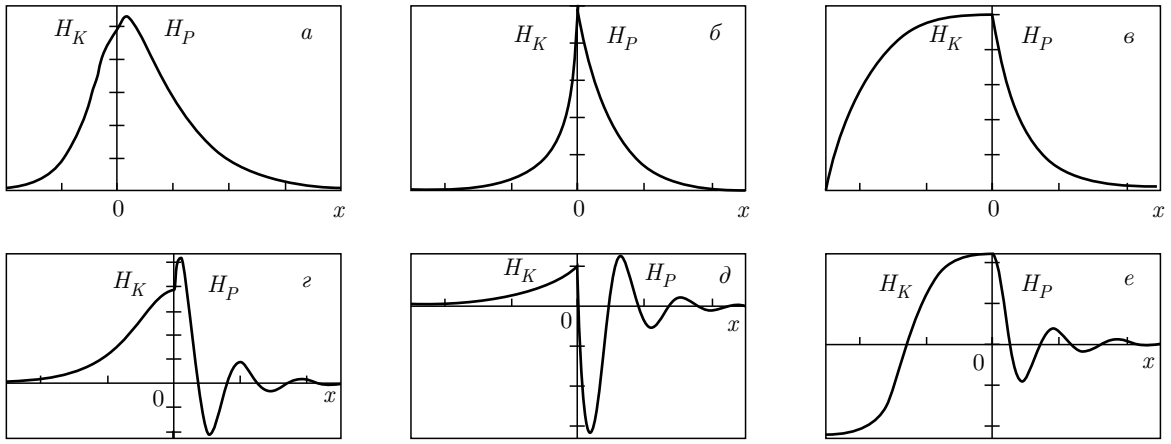
$$H_1(x) = H_0 e^{-\gamma x}, \quad (15)$$

где амплитуда поля на границе раздела

$$H_0 = \sqrt{\frac{2}{g}} \frac{q}{\operatorname{ch} qx_0} \quad (16)$$

и коэффициент затухания

$$\gamma = -\frac{\varepsilon_1}{\varepsilon_2} q \operatorname{th} qx_0. \quad (17)$$



Характерные профили распределения поля (H_K — в керровском кристалле при $x < 0$, H_P — в фотопрефрактивном при $x > 0$) в поверхностной волне в зависимости от расстояний x от границы раздела кристаллов при фиксированных параметрах: а) диапазон $\max\{n_{20}, \sqrt{n_{10}^2 - \mu^2/4k_0^2}\} < \beta < n_{10}$ и $g > 0$, в фотопрефрактивном кристалле — график зависимости (б), в керровском — график зависимости (7); б) диапазон $\max\{n_{20}, \sqrt{n_{10}^2 - \mu^2/4k_0^2}\} < \beta < n_{10}$ и $g < 0$, в фотопрефрактивном кристалле — (6), в керровском — (19); в) диапазон $\sqrt{n_{10}^2 - \mu^2/4k_0^2} < \beta < \min\{n_{10}, n_{20}\}$ и $g < 0$, в фотопрефрактивном кристалле — (6), в керровском — (28); г) диапазон $n_{20} < \beta < \sqrt{n_{10}^2 - \mu^2/4k_0^2}$ и $g > 0$, в фотопрефрактивном кристалле — (36), в керровском — (7); д) диапазон $n_{20} < \beta < \sqrt{n_{10}^2 - \mu^2/4k_0^2}$ и $g < 0$, в фотопрефрактивном кристалле — (36), в керровском — (19); е) диапазон $\beta < \min\{n_{20}, \sqrt{n_{10}^2 - \mu^2/4k_0^2}\}$ и $g < 0$, в фотопрефрактивном кристалле — (36), в керровском — (28)

Для положительности коэффициента затухания (17) в монотонно убывающей волне (15) должно быть $x_0 < 0$. Такая монотонно убывающая волна существует при фиксированной связи константы распространения, коэффициентов преломления и других физических характеристик фотопрефрактивного и керровского кристаллов, определяемой выражением (14).

Выражение (14) можно использовать другим образом, определив из него положение центра локализации поля как функцию константы распространения:

$$x_0(\beta) = -\frac{1}{q} \operatorname{Arth} \left(\frac{\varepsilon_2}{\varepsilon_1 q} \left(\frac{\mu}{2} \pm \nu \right) \right), \quad (18)$$

где знаки «+» для $A = 0$ и «-» для $B = 0$.

3.2. Волны первого типа в кристалле с отрицательной керровской нелинейностью

Рассмотрим теперь случай $g < 0$ и $\max\{n_{20}, \sqrt{n_{10}^2 - \mu^2/4k_0^2}\} < \beta < n_{10}$. Тогда в фотопрефрактивном кристалле решение уравнения (2) определяется выражением (6), в керровском кристалле решение уравнения (3) представимо в виде

$$H_2(x) = \sqrt{\frac{2}{|g|}} \frac{q}{\operatorname{sh} q(x - x_0)}, \quad (19)$$

где q определяется выражением (9) (см. рис. б). Параметр ν решения (6) определяется выражением (8), а константы A и B находятся после подстановки (6) и (19) в граничные условия (4) и (5):

$$A = \frac{q}{\nu \sqrt{2|g|} \operatorname{sh} qx_0} \left(\frac{\varepsilon_1}{\varepsilon_2} q \operatorname{cth} qx_0 + \frac{\mu}{2} + \nu \right), \quad (20)$$

$$B = \frac{q}{\nu \sqrt{2|g|} \operatorname{sh} qx_0} \left(\frac{\varepsilon_1}{\varepsilon_2} q \operatorname{cth} qx_0 + \frac{\mu}{2} - \nu \right). \quad (21)$$

Как и для кристалла с положительной керровской нелинейностью, в кристалле с отрицательной керровской нелинейностью возможно существование монотонно затухающих в глубину фотопрефрактивного кристалла волн в двух случаях ($A = 0$ или $B = 0$). Тогда из (20) и (21) получается дисперсионное уравнение

$$\nu = \mp \left(\frac{\varepsilon_1}{\varepsilon_2} q \operatorname{cth} qx_0 + \frac{\mu}{2} \right), \quad (22)$$

где выбирается знак «-» для $A = 0$ и «+» для $B = 0$. В этих случаях распределение поля (6) в монотонно затухающей поверхностной волне в фо-

торефрактивном кристалле принимает вид (15), где амплитуда поля на границе раздела

$$H_0 = -\sqrt{\frac{2}{|g|}} \frac{q}{\operatorname{sh} qx_0} \quad (23)$$

и коэффициент затухания

$$\gamma = -\frac{\varepsilon_1}{\varepsilon_2} q \operatorname{cth} qx_0. \quad (24)$$

Из формулы (22) можно выразить положение центра локализации поля как функцию константы распространения:

$$x_0(\beta) = -\frac{1}{q} \operatorname{Arcth} \left(\frac{\varepsilon_2}{\varepsilon_1 q} \left(\frac{\mu}{2} \pm \nu \right) \right), \quad (25)$$

где выбирается знак «+» для $A = 0$ и «-» для $B = 0$.

В приближении $qx_0 \ll 1$ из (22) получается выражение

$$\nu = \pm \left(\frac{\varepsilon_1}{\varepsilon_2 x_0} + \frac{\mu}{2} \right), \quad (26)$$

из которого можно найти в явном виде закон дисперсии — зависимость константы распространения от параметров кристаллов:

$$\beta^2(x_0) = n_{10}^2 + \frac{\varepsilon_1}{\varepsilon_2 x_0 k_0^2} \left(\frac{\varepsilon_1}{\varepsilon_2 x_0} + \mu \right). \quad (27)$$

Условия существования такой поверхностной волны реализуются при $-\varepsilon_1/\varepsilon_2 \mu < x_0 < 0$.

3.3. Волны второго типа в кристалле с отрицательной керровской нелинейностью

Рассмотрим теперь случай $g < 0$ и $\sqrt{n_{10}^2 - \mu^2/4k_0^2} < \beta < \min\{n_{10}, n_{20}\}$. Тогда в фоторефрактивном кристалле решение уравнения (2) определяется выражением (6), в керровском кристалле решение уравнения (3) представимо в виде

$$H_2(x) = q_t \sqrt{\frac{2}{|g|}} \operatorname{th} q_t(x - x_0), \quad (28)$$

где

$$q_t^2 = \frac{k_0^2(n_{20}^2 - \beta^2)}{2}. \quad (29)$$

Решение (28) хотя и не исчезает на бесконечности (в отличие от решений (7) и (19), удовлетворяющих

условию $|H_2(x)| \rightarrow 0$ при $x \rightarrow -\infty$), но всюду остается конечным и может использоваться для анализа локализованных состояний в кристаллах конечной толщины при условии, что она существенно превосходит характерное расстояние локализации возмущений поля вблизи границы раздела (см. рис. 6).

Параметр ν решения (6) определяется выражением (8), а константы A и B находятся после подстановки (6) и (28) в граничные условия (4) и (5):

$$A = -\frac{q_t \operatorname{th} q_t x_0}{\nu \sqrt{2|g|}} \left(\frac{\mu}{2} + \nu - \frac{\varepsilon_1}{\varepsilon_2} \frac{2q_t}{\operatorname{sh} 2q_t x_0} \right), \quad (30)$$

$$B = \frac{q_t \operatorname{th} q_t x_0}{\nu \sqrt{2|g|}} \left(\frac{\mu}{2} - \nu - \frac{\varepsilon_1}{\varepsilon_2} \frac{2q_t}{\operatorname{sh} 2q_t x_0} \right). \quad (31)$$

Как и в разд. 3.2, в рассматриваемом случае возможно существование монотонно затухающих в глубину фоторефрактивного кристалла волн при $A = 0$ или $B = 0$. Тогда из (30) и (31) для таких волн получается дисперсионное уравнение

$$\nu = \frac{\varepsilon_1}{\varepsilon_2} \frac{2q_t}{\operatorname{sh} 2q_t x_0} \mp \frac{\mu}{2}, \quad (32)$$

где выбирается верхний знак для $A = 0$ и нижний знак для $B = 0$. В этих случаях распределение поля (6) в монотонно затухающей поверхностной волне в фоторефрактивном кристалле принимает вид (15), где амплитуда поля на границе раздела

$$H_0 = -q_t \sqrt{\frac{2}{|g|}} \operatorname{th} q_t x_0, \quad (33)$$

и коэффициент затухания

$$\gamma = -\frac{\varepsilon_1}{\varepsilon_2} \frac{2q_t}{\operatorname{sh} 2q_t x_0}. \quad (34)$$

Для положительности коэффициента затухания (34) в монотонно убывающей волне (15) должно быть $x_0 < 0$.

Из уравнения (32) можно выразить положение центра локализации поля как функцию константы распространения:

$$x_0(\beta) = \frac{1}{2q_t} \operatorname{Arsh} \left(\frac{2q_t \varepsilon_1}{\varepsilon_2 (\mu/2 \pm \nu)} \right). \quad (35)$$

В приближении $qx_0 \ll 1$ из (32) получается выражение (26) и, соответственно, закон дисперсии (27).

В противоположном предельном случае, когда $qx_0 \gg 1$, из (32) следует, что $\nu \rightarrow \mp \mu/2$, $\beta \rightarrow n_{10}$.

4. ЗАТУХАЮЩИЕ С ОСЦИЛЛАЦИЯМИ НЕЛИНЕЙНЫЕ ПОВЕРХНОСТНЫЕ ВОЛНЫ

4.1. Осциллирующие поверхностные волны в кристалле с положительной керровской нелинейностью

При $g > 0$ и $n_{20} < \beta < \sqrt{n_{10}^2 - \mu^2/4k_0^2}$ решение уравнения (3) остается в виде (7), а решение уравнения (2) примет вид

$$H_1(x) = H_0 e^{-\mu x/2} \frac{\cos(px + \varphi)}{\cos \varphi}, \quad (36)$$

где H_0 определяется (16) и волновое число

$$p^2 = -\nu^2 = \frac{1}{4} \{4k_0^2(n_{10}^2 - \beta^2) - \mu^2\}. \quad (37)$$

Распределение поля (36) в поверхностной волне затухает с осцилляциями при удалении от границы раздела в глубину фоторефрактивного кристалла (см. рис. 2). Затухание поля в глубину керровского кристалла по-прежнему происходит без осцилляций.

Подстановка решений (7) и (36) в граничные условия (4) и (5) приводит к амплитуде поля в фоторефрактивном кристалле в виде (16), а также к дисперсионному соотношению

$$p \operatorname{tg} \varphi = - \left(\frac{\varepsilon_1}{\varepsilon_2} q \operatorname{th} qx_0 + \frac{\mu}{2} \right). \quad (38)$$

Дисперсионное соотношение (38), определяющее зависимость константы распространения от коэффициентов преломления и других физических характеристик фоторефрактивного и керровского кристаллов, можно проанализировать в различных предельных случаях.

В частности, при $\varphi = 0$ формула (38) примет вид

$$q \operatorname{th} qx_0 = - \frac{\mu \varepsilon_2}{2 \varepsilon_1}. \quad (39)$$

При $qx_0 \ll 1$ из (38) можно получить в явном виде закон дисперсии:

$$\beta^2(x_0) = n_{20}^2 - \frac{\mu \varepsilon_2}{2 \varepsilon_1 x_0 k_0^2}. \quad (40)$$

Волна с законом дисперсии (40) существует при $x_0 < 0$.

В противоположном предельном случае при $qx_0 \gg 1$ из (39) находится значение $q = -\mu \varepsilon_2 / 2 \varepsilon_1$, из которого и получается закон дисперсии в явном виде:

$$\beta^2(\varphi) = n_{20}^2 + \left(\frac{\mu \varepsilon_2}{2 \varepsilon_1 k_0} \right)^2. \quad (41)$$

При $x_0 = 0$ и меняющемся φ формула (38) примет вид

$$\operatorname{tg} \varphi = - \frac{\mu}{2p}. \quad (42)$$

Из (42) получается закон дисперсии в виде

$$\beta^2(\varphi) = n_{10}^2 - \frac{\mu^2}{4k_0^2} (1 + \operatorname{ctg}^2 \varphi). \quad (43)$$

Условие существования такой волны с законом дисперсии (43) определяется неравенством $\operatorname{ctg}^2 \varphi < 4k_0^2 n_{10}^2 / \mu^2 - 1$.

При $qx_0 \ll 1$ и меняющемся φ из формулы (38) получается закон дисперсии в виде

$$\beta^2(\varphi) = n_{10}^2 - \frac{\mu^2}{4k_0^2} - \left(\frac{\varepsilon_2 \operatorname{tg} \varphi}{2 \varepsilon_1 k_0 x_0} \right)^2 \{1 \pm D^{1/2}\}, \quad (44)$$

$$D = 1 - f \operatorname{ctg}^2 \varphi,$$

$$f = \frac{4 \varepsilon_1 x_0}{\varepsilon_2} \left\{ \frac{\varepsilon_1 x_0}{\varepsilon_2} \left[\frac{\mu^2}{4} - k_0^2(n_{10}^2 - n_{20}^2) \right] - \frac{\mu}{2} \right\}.$$

Условие существования такой волны с законом дисперсии (44) определяется неравенством $\operatorname{tg}^2 \varphi > f$.

Из (38) можно выразить положение центра локализации поля как функцию константы распространения:

$$x_0(\beta) = - \frac{1}{q} \operatorname{Arth} \left\{ \frac{\varepsilon_2}{\varepsilon_1 q} \left(\frac{\mu}{2} + p \operatorname{tg} \varphi \right) \right\}. \quad (45)$$

4.2. Осциллирующие поверхностные волны первого типа в кристалле с отрицательной керровской нелинейностью

Рассмотрим теперь случай $g < 0$ и $n_{20} < \beta < \sqrt{n_{10}^2 - \mu^2/4k_0^2}$. Тогда решение уравнения (2) остается в виде (36), а решение уравнения (3) — в виде (19). Параметры q и p определяются формулами (9) и (37), а H_0 — (23) (см. рис. 2).

Подстановка решений (19) и (36) в граничные условия (4) и (5) приводит к амплитуде поля в фоторефрактивном кристалле в виде (23), а также к дисперсионному соотношению

$$p \operatorname{tg} \varphi = \frac{\varepsilon_1}{\varepsilon_2} q \operatorname{cth} qx_0 - \frac{\mu}{2}. \quad (46)$$

При $\varphi = 0$ дисперсионное уравнение (46) примет вид

$$q \operatorname{cth} qx_0 = \frac{\mu \varepsilon_2}{2 \varepsilon_1}. \quad (47)$$

При $qx_0 \ll 1$ из (47) можно определить положение центра $x_0 = 2\varepsilon_1/\mu\varepsilon_2$. В противоположном предельном случае при $qx_0 \gg 1$ из (47) находится значение $q = \mu\varepsilon_2/2\varepsilon_1$, из которого и получается закон дисперсии в виде (41).

При $qx_0 \ll 1$ и меняющемся φ из (46) можно получить в явном виде закон дисперсии:

$$\beta^2(\varphi) = n_{10}^2 - \frac{1}{4k_0^2} \left\{ \mu^2 + \left(\frac{\varepsilon_1}{2\varepsilon_2 x_0} - \mu \right)^2 \operatorname{ctg}^2 \varphi \right\}. \quad (48)$$

Из (46) можно выразить положение центра локализации поля как функцию константы распространения:

$$x_0(\beta) = \frac{1}{q} \operatorname{Arcth} \left\{ \frac{\varepsilon_2}{\varepsilon_1 q} \left(\frac{\mu}{2} + p \operatorname{tg} \varphi \right) \right\}. \quad (49)$$

4.3. Осциллирующие поверхностные волны второго типа в кристалле с отрицательной керровской нелинейностью

Рассмотрим теперь случай $g < 0$ и $\beta < \min \left\{ n_{20}, \sqrt{n_{10}^2 - \mu^2/4k_0^2} \right\}$. Тогда решение уравнения (2) остается в виде (36), а решение уравнения (3) — в виде (28). Параметры q_t и p определяются формулами (29) и (37) соответственно, а H_0 — (33) (см. рис. e).

Подстановка решений (28) и (36) в граничные условия (4) и (5) приводит к амплитуде поля в фототрефрактивном кристалле в виде (33), а также к дисперсионному соотношению

$$p \operatorname{tg} \varphi = \frac{\varepsilon_1}{\varepsilon_2} \frac{2q_t}{\operatorname{sh} 2q_t x_0} - \frac{\mu}{2}. \quad (50)$$

При $\varphi = 0$ дисперсионное уравнение (50) примет вид

$$\frac{q_t}{\operatorname{sh} 2q_t x_0} = \frac{\mu\varepsilon_2}{4\varepsilon_1}, \quad (51)$$

из которого в предельных случаях получаются такие же результаты как и в разд. 4.2.

При $qx_0 \ll 1$ и меняющемся φ из (50) получается закон дисперсии вида (48). При $qx_0 \gg 1$ и меняющемся φ из (50) получается закон дисперсии вида (43).

Из формулы (50) можно выразить положение центра локализации поля как функцию константы распространения:

$$x_0(\beta) = \frac{1}{2q_t} \operatorname{Arsh} \left\{ \frac{2q_t \varepsilon_1}{\varepsilon_2 (\mu/2 + p \operatorname{tg} \varphi)} \right\}. \quad (52)$$

5. ОБСУЖДЕНИЕ РЕЗУЛЬТАТОВ

Рассмотрим подход к решению дисперсионных уравнений, основанный на том, что известной характеристикой пусть теперь считается амплитуда поля H_0 поверхностной волны на границе раздела кристаллов. В этом случае дисперсионные уравнения будут содержать вместо параметра x_0 амплитуду H_0 , и тогда возможно найти в явном аналитическом виде без использования дополнительных приближений их точные решения, определяющие зависимости константы распространения от характеристик кристаллов.

5.1. Затухающие без осцилляций волны

Для монотонно затухающих волн в кристалле с положительным коэффициентом керровской нелинейности дисперсионное уравнение (14) с использованием выражения (16) можно представить как

$$\frac{\varepsilon_1}{\varepsilon_2} \left(q^2 - \frac{g}{2} H_0^2 \right)^{1/2} = - \left(\frac{\mu}{2} \pm \nu \right). \quad (53)$$

Точное решение дисперсионного уравнения (53) имеет вид

$$\beta^2 = n_{10}^2 - \mu^2 \left\{ \frac{1}{4k_0^2} - \frac{1}{\varepsilon^2} \left[1 \pm \left(1 + \frac{4h\varepsilon}{\mu^2} \right)^{1/2} \right] \right\}^2, \quad (54)$$

где

$$\varepsilon = \left(\frac{\varepsilon_1}{\varepsilon_2} \right)^2 - 1, \\ h = \frac{\mu^2}{4} + \left(\frac{\varepsilon_1}{\varepsilon_2} \right)^2 \left\{ \frac{g}{2} H_0^2 + \frac{\mu^2}{4} + k_0^2 (n_{20}^2 - n_{10}^2) \right\}.$$

Если амплитуда поля на границе раздела выражается через характеристики кристаллов как (получается при $h = 0$)

$$H_0^2 = \left(\frac{2}{g} \right)^2 \left\{ k_0^2 (n_{10}^2 - n_{20}^2) - \frac{\mu^2}{4} \left[\left(\frac{\varepsilon_1}{\varepsilon_2} \right)^2 + 1 \right] \right\}, \quad (55)$$

то из (53) получается величина $\nu = \pm \mu/\varepsilon$ и закон дисперсии в виде

$$\beta^2 = n_{10}^2 - \frac{\mu^2}{4k_0^2} \left(1 - \frac{4}{\varepsilon^2} \right). \quad (56)$$

Для существования волны с законом дисперсии (56) должны выполняться условия $\varepsilon_1 > \sqrt{5}\varepsilon_2$ и $\mu^2 < 4k_0^2(n_{10}^2 - n_{20}^2)/[(\varepsilon_1/\varepsilon_2)^2 + 1]$.

Для кристалла с отрицательным коэффициентом керровской нелинейности для монотонно затухающих волн первого типа дисперсионное уравнение (22) с использованием выражения (23) можно

представить в виде (53), в котором перед g ставится противоположный знак.

Для кристалла с отрицательным коэффициентом керровской нелинейности для монотонно затухающих волн второго типа дисперсионное уравнение (32) с использованием выражения (33) можно представить в виде

$$\frac{\varepsilon_1}{\varepsilon_2} \left(\frac{g}{2} H_0^2 - q_t^2 \right) = -\sqrt{\frac{|g|}{2}} H_0 \left(\frac{\mu}{2} \pm \nu \right). \quad (57)$$

Точное решение дисперсионного уравнения (57) имеет вид

$$\begin{aligned} \beta^2 = n_{10}^2 - \frac{1}{2k_0^2} & \left\{ \frac{\mu^2}{2} - g \left(\frac{\varepsilon_2}{\varepsilon_1} H_0 \right)^2 \times \right. \\ & \left. \times \left[\mp 1 \pm \left(1 - \frac{4h_t \varepsilon_1}{2g \varepsilon_2 H_0^2} \right)^{1/2} \right]^2 \right\}, \end{aligned} \quad (58)$$

где

$$h_t = \sqrt{2|g|} \frac{H_0 \mu}{2} - \left\{ g H_0^2 - \frac{\mu^2}{4} - k_0^2 (n_{20}^2 - n_{10}^2) \right\} \frac{\varepsilon_1}{\varepsilon_2}.$$

Если амплитуда поля на границе раздела выражается через характеристики кристаллов в виде (получается при $h_t = 0$)

$$\begin{aligned} H_0 = \frac{\varepsilon_2}{\varepsilon_1} \left(\frac{2}{|g|} \right)^{1/2} & \times \\ & \times \left\{ 1 \pm \frac{8}{\mu^2} \left(\frac{\varepsilon_1}{\varepsilon_2} \right)^2 \left[\frac{\mu^2}{4} + k_0^2 (n_{20}^2 - n_{10}^2) \right] \right\}, \end{aligned} \quad (59)$$

то из (58) получается величина

$$\nu = \mp \sqrt{2|g|} H_0 \varepsilon_2 / \varepsilon_1, \quad (60)$$

которой соответствует следующий закон дисперсии

$$\beta^2 = n_{10}^2 - \frac{1}{k_0^2} \left\{ \frac{\mu^2}{4} - 2g \left(\frac{\varepsilon_2}{\varepsilon_1} H_0 \right)^2 \right\}. \quad (61)$$

Для существования волны с законом дисперсии (61) должно выполняться условие $\mu^2 > 4k_0^2(n_{20}^2 - n_{10}^2)(\varepsilon_1/\varepsilon_2)^2/[1/2 - (\varepsilon_1/\varepsilon_2)^2]$.

5.2. Затухающие с осцилляциями волны

Для затухающих с осцилляциями волн в кристалле с положительным коэффициентом керровской нелинейности дисперсионное уравнение (38) с использованием выражения (16) можно представить в виде

$$\frac{\mu}{2} + \frac{\varepsilon_1}{\varepsilon_2} \left(q^2 - \frac{g}{2} H_0^2 \right)^{1/2} + p \operatorname{tg} \varphi = 0. \quad (62)$$

Точное решение дисперсионного уравнения (62) имеет вид

$$\beta^2 = n_{20}^2 + \frac{b}{2a^2 k_0^2} \left\{ 1 \pm \left(1 - \frac{4a^2 c}{b^2} \right)^{1/2} \right\}, \quad (63)$$

где

$$a = \left(\frac{\varepsilon_1}{\varepsilon_2} \right)^2 + \operatorname{tg}^2 \varphi, \quad b = 2a\Delta + \left(\frac{\mu \varepsilon_1}{\varepsilon_2} \right)^2,$$

$$c = \Delta^2 + \left(\frac{\mu \varepsilon_1}{\varepsilon_2} \right)^2 \frac{g H_0^2}{2},$$

$$\Delta = \left\{ k_0^2 (n_{10}^2 - n_{20}^2) - \frac{\mu^2}{4} \right\} \operatorname{tg}^2 \varphi - \frac{\mu^2}{4} + \left(\frac{\varepsilon_1}{\varepsilon_2} \right)^2 \frac{g H_0^2}{2}.$$

В частном случае при $\varphi = 0$ из дисперсионного уравнения (62) можно получить более простое для анализа выражение, определяющее ширину локализации поля в керровском кристалле:

$$q^2 = \frac{g}{2} H_0^2 + \left(\frac{\mu \varepsilon_2}{2\varepsilon_1} \right)^2, \quad (64)$$

из которого с помощью (9) можно получить следующий закон дисперсии:

$$\beta^2 = n_{20}^2 + \frac{1}{k_0^2} \left\{ \frac{g}{2} H_0^2 + \left(\frac{\mu \varepsilon_2}{2\varepsilon_1} \right)^2 \right\}. \quad (65)$$

Для кристалла с отрицательным коэффициентом керровской нелинейности для затухающих с осцилляциями волн первого типа дисперсионное уравнение (46) с использованием выражения (23) можно представить в виде

$$\frac{\mu}{2} + p \operatorname{tg} \varphi = \frac{\varepsilon_1}{\varepsilon_2} \left(q^2 + \frac{g}{2} H_0^2 \right)^{1/2}, \quad (66)$$

отсюда получаются зависимости вида (63) и (65), в которых перед g ставится противоположный знак.

Для кристалла с отрицательным коэффициентом керровской нелинейности для затухающих с осцилляциями волн второго типа дисперсионное уравнение (50) с использованием выражения (33) можно представить в виде

$$\frac{\varepsilon_1}{\varepsilon_2} \left(\frac{g}{2} H_0^2 - q_t^2 \right) = \sqrt{\frac{|g|}{2}} H_0 \left(\frac{\mu}{2} + p \operatorname{tg} \varphi \right). \quad (67)$$

Точное решение дисперсионного уравнения (67) имеет вид

$$\beta^2 = n_{10}^2 - \frac{1}{2k_0^2} \left\{ \frac{\mu^2}{2} + \left(\frac{\varepsilon_2}{\varepsilon_1} \right)^2 g \operatorname{tg}^2 \varphi \times \right. \\ \left. \times \left[-1 \pm \left(1 - \frac{4\Delta_t}{g} \left(\frac{\varepsilon_1}{\varepsilon_2} \right)^2 \operatorname{ctg}^2 \varphi \right)^{1/2} \right] \right\}, \quad (68)$$

где

$$\Delta_t = \sqrt{|g|} H_0 \left\{ \frac{\varepsilon_2}{\varepsilon_1} \frac{\mu}{2} - \sqrt{|g|} H_0 \right\} + k_0^2 (n_{20}^2 - n_{10}^2) + \frac{\mu^2}{4}.$$

Волны с законом дисперсии (68) существуют при условии $\operatorname{tg} \varphi > \sqrt{2|g|} \Delta_t \varepsilon_1 / \varepsilon_2$.

Если амплитуда поля на границе раздела выражается через характеристики кристаллов в виде (получается при $\Delta_t = 0$)

$$H_0 = \frac{\mu \varepsilon_2}{2\varepsilon_1 \sqrt{2|g|}} \left\{ 1 \pm \left(1 - 8 \left(\frac{\varepsilon_1}{\mu \varepsilon_2} \right)^2 \times \right. \right. \\ \left. \left. \times \left[\frac{\mu^2}{4} + k_0^2 (n_{20}^2 - n_{10}^2) \right] \right)^{1/2} \right\}, \quad (69)$$

то из (67) получается волновое число

$$p = \sqrt{2|g|} H_0 \operatorname{tg} \varphi \varepsilon_2 / \varepsilon_1, \quad (70)$$

которому соответствует закон дисперсии

$$\beta^2 = n_{10}^2 - \frac{1}{k_0^2} \left\{ \frac{\mu^2}{4} + 2g \left(\frac{\varepsilon_2}{\varepsilon_1} H_0 \operatorname{tg} \varphi \right)^2 \right\}. \quad (71)$$

Для существования волн с законом дисперсии (71) должно выполняться условие $\mu^2 > 4k_0^2(n_{10}^2 - n_{20}^2)/[1 + (\varepsilon_2/\varepsilon_1)^2/2]$.

Из полученных выражений (58), (61), (63), (65), (68) и (71) следует, что в основном приближении квадрат константы распространения линейно зависит от квадрата амплитуды магнитного поля на границе раздела кристаллов.

6. ЗАКЛЮЧЕНИЕ

Таким образом, в данной работе установлено, что на границе раздела фоторефрактивного кристалла и керровского кристалла могут существовать нелинейные поверхностные волны несимметричного профиля двух типов, различающихся характером затухания. Волны первого типа затухают при удалении от границы раздела без осцилляций в глубину как фоторефрактивного кристалла, так и керровского, а волны второго типа затухают в глубину фоторефрактивного кристалла с осцилляциями. Волны

первого типа могут затухать монотонно при определенных условиях связи константы распространения, коэффициентов преломления и других физических характеристик фоторефрактивного и керровского кристаллов.

В данной работе были рассмотрены условия существования таких нелинейных поверхностных волн вблизи границы раздела фоторефрактивного кристалла и кристаллов с различными знаками коэффициента керровской нелинейности. В случае контакта фоторефрактивного кристалла с кристаллом с положительным коэффициентом керровской нелинейности возникают два типа нелинейных поверхностных волн с различным характером затухания. В случае контакта фоторефрактивного кристалла с кристаллом с отрицательным коэффициентом керровской нелинейности возникают два вида нелинейных поверхностных волн с затуханием без осцилляций и два вида волн, затухающих с осцилляциями.

Для всех рассмотренных в работе типов нелинейных поверхностных волн получены дисперсионные уравнения, найдены их решения, определяющие зависимости константы распространения от характеристик фоторефрактивного и керровского кристаллов в явном аналитическом виде, а также указаны условия их существования.

В работе приведен подход к решению дисперсионных уравнений, основанный на том, что известной характеристикой считается амплитуда поля H_0 поверхностной волны на границе раздела кристаллов. В этом случае удалось найти точные решения дисперсионных уравнений в явном аналитическом виде без использования дополнительных приближений.

Возможность существования волн с осциллирующим затуханием принципиально отличает контакт фоторефрактивного кристалла и нелинейной керровской среды от контакта двух нелинейных керровских сред или контакта нелинейной керровской и линейной сред, поскольку осцилляции затухающего поля обусловлены фоторефрактивной нелинейностью диффузационного происхождения. Такое формирование поля демонстрировалось в поверхностных волнах, распространяющихся вдоль контакта фоторефрактивного кристалла с воздухом или металлической пленкой (т. е. с линейными средами) [9–11], однако вдоль контакта нелинейных сред с иным механизмом индуцирования нелинейности, керровского типа в частности, амплитуда поля в поверхностных волнах носит только апериодический или строго монотонный характер [12–18]. В связи с этим при проектировании различных оптических устройств

(переключателей, сенсоров), использующих волноводные свойства нелинейных поверхностных волн, существенное значение будет иметь тип нелинейности контактирующих кристаллических прослоек [29–31].

ЛИТЕРАТУРА

1. V. Tekkozyan, A. Babajanyan, and K. Nerkararyan, Opt. Comm. **305**, 190 (2013).
2. Y. V. Bludov, D. A. Smirnova, Yu. S. Kivshar, N. M. R. Peres, and M. I. Vasilevsky, Phys. Rev. B **89**, 035406 (2014).
3. I. S. Panyaev and D. G. Sannikov, J. Opt. Soc. Amer. B **33**, 220 (2016).
4. A. I. Ignatov, I. A. Nechepurenko, and D. G. Baranov, Ann. Phys. **528**, 537 (2016).
5. F. Yang and H. Tian, J. Opt. **18**, 1 (2016).
6. I. Haddouche and L. Cherbi, Opt. Comm. **382**, 132 (2017).
7. Y. M. Aleksandrov and V. V. Yatsishen, J. Nano- and Electronic Phys. **9**, 03039 (2017).
8. В. Н. Белый, Н. А. Хило, Письма в ЖТФ **23**, 31 (1997).
9. Д. Х. Усиевич, Б. А. Нурлигареев, В. А. Сычугов, Л. И. Ивлева, П. А. Лыков, Н. В. Богодаев, КЭ **40**, 437 (2010).
10. Д. Х. Усиевич, Б. А. Нурлигареев, В. А. Сычугов, Л. И. Ивлева, КЭ **43**, 14 (2013).
11. С. А. Четкин, И. М. Ахмеджанов, КЭ **41**, 980 (2011).
12. Y. S. Kivshar and G. P. Agrawal, *Optical Solitons: From Fibers to Photonic Crystals*, Acad. Press, San Diego (2003).
13. Yu. S. Kivshar, A. M. Kosevich, and O. A. Chubykalo, Phys. Rev. A **41**, 1677 (1990).
14. F. Kh. Abdullaev, B. B. Baizakov, and B. A. Umarov, Opt. Comm. **156**, 341 (1998).
15. И. Е. Дикштейн, Д. С. Никитов, С. А. Никитов, ФТТ **40**, 1885 (1998).
16. A. A. Sukhorukov and Yu. S. Kivshar, Phys. Rev. Lett. **87**, 083901 (2001).
17. I. V. Shadrivov, A. A. Sukhorukov, Yu. S. Kivshar, A. A. Zharov, A. D. Boardman, and P. Egan, Phys. Rev. E **69**, 016617 (2004).
18. I. V. Shadrivov, A. A. Sukhorukov, and Yu. S. Kivshar, Phys. Rev. E **67**, 057602 (2003).
19. С. Е. Савотченко, Изв. вузов. Физика **47**, 79 (2004).
20. S. E. Savotchenko, Mod. Phys. Lett. B **32**, 1850120 (2018).
21. С. Е. Савотченко, ЖЭТФ **154**, 514 (2018).
22. Н. Н. Ахмедиев, В. И. Корнеев, Ю. В. Кузьменко, ЖЭТФ **88**, 107 (1985) [N. N. Akhmediev, V. I. Kornev, and U. V. Kuz'menko, J. Exper. Theor. Phys. **88**, 107 (1985)].
23. A. D. Boardman, M. M. Shabat, and R. F. Wallis, J. Phys. D: Appl. Phys. **24**, 1702 (1991).
24. С. Е. Савотченко, Конденсированные среды и межфазные границы **19**, 567 (2017).
25. С. Е. Савотченко, Вестник ВГУ, сер.: Физика. Математика **1**, 44 (2018).
26. S. E. Savotchenko, Surfaces and Interfaces **13**, 157 (2018).
27. М. П. Петров, С. И. Степанов, А. В. Хоменко, *Фотоферактивные кристаллы в когерентной оптике*, Наука, Санкт-Петербург (1992).
28. V. S. Zuev, J. Russ. Laser Res. **26**, 347 (2005).
29. N. Zhong, Z. Wang, M. Chen, X. Xin, R. Wu, Y. Cen, and Y. Li, Sensors and Actuators B: Chem. **254**, 133 (2018).
30. D. Zhang, Z. Li, W. Hu, and B. Cheng, Appl. Phys. Lett. **67**, 2431 (1995).
31. T. Strudley, R. Bruck, B. Mills, and O. L. Muskens, Light: Sci. Appl. **3**, e207 (2014).